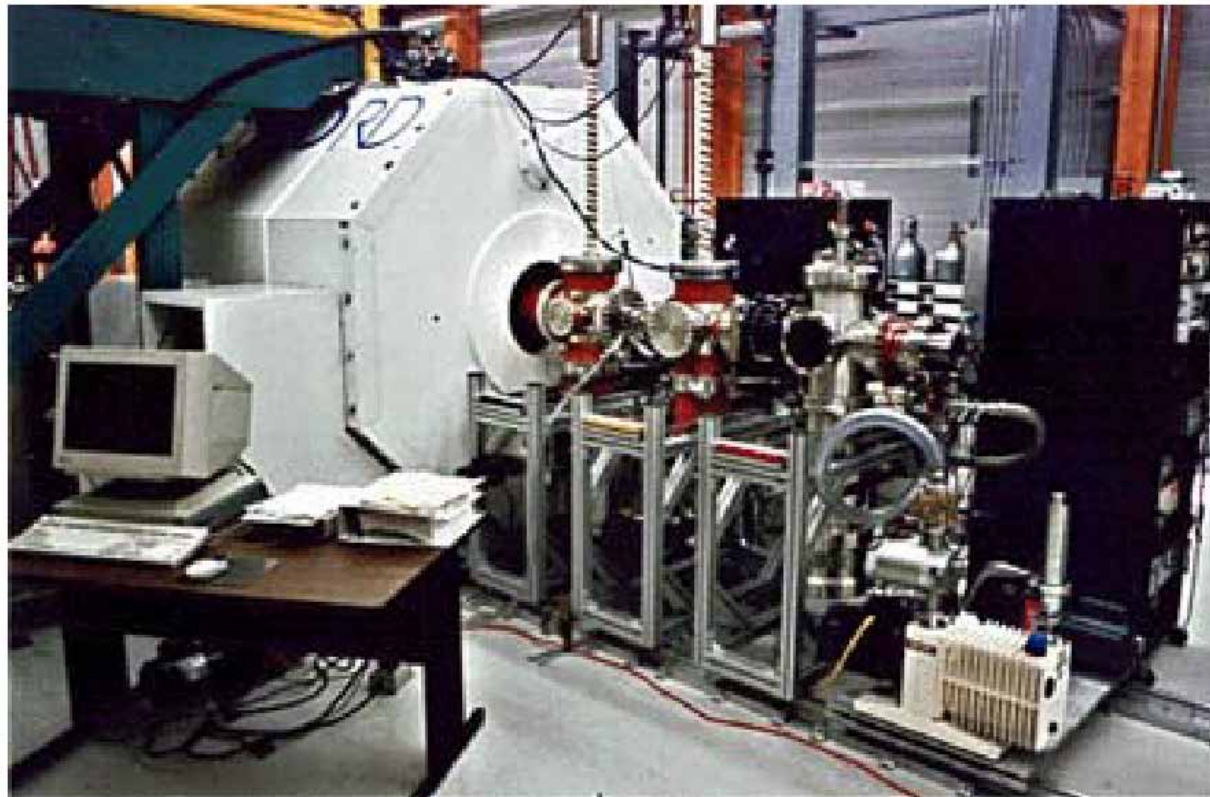


Основы масс-спектрометрии сверхвысокого разрешения и ее применение для анализа гуминовых веществ

Масс-спектрометрия ионно-циклотронного резонанса с преобразованием Фурье (ИЦР)

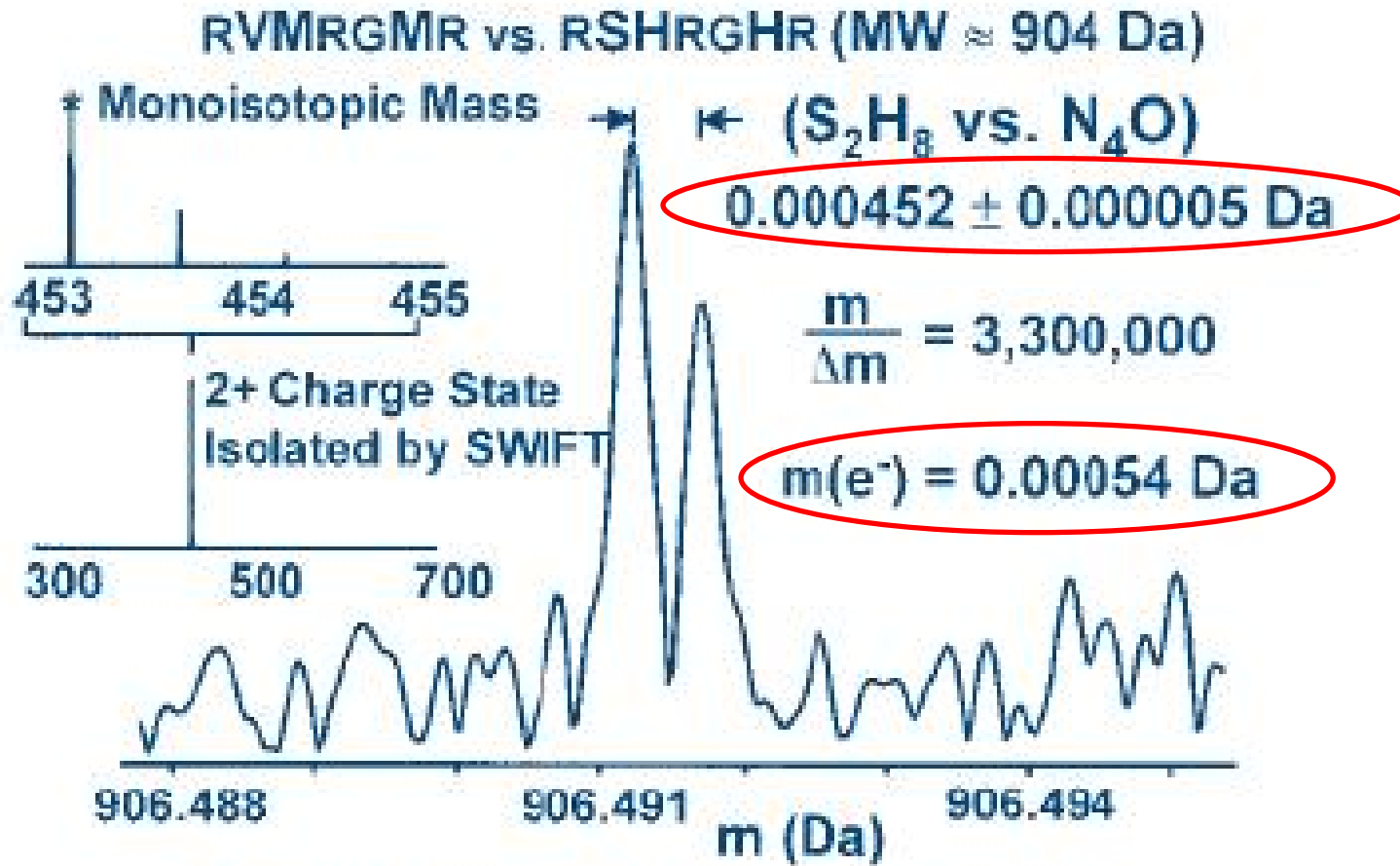
FT ICR, FTMS, ICR MS

FT-ICR Mass Spectrometer



9.4 Tesla Super magnet at Alan Marshall Laboratory, Florida University

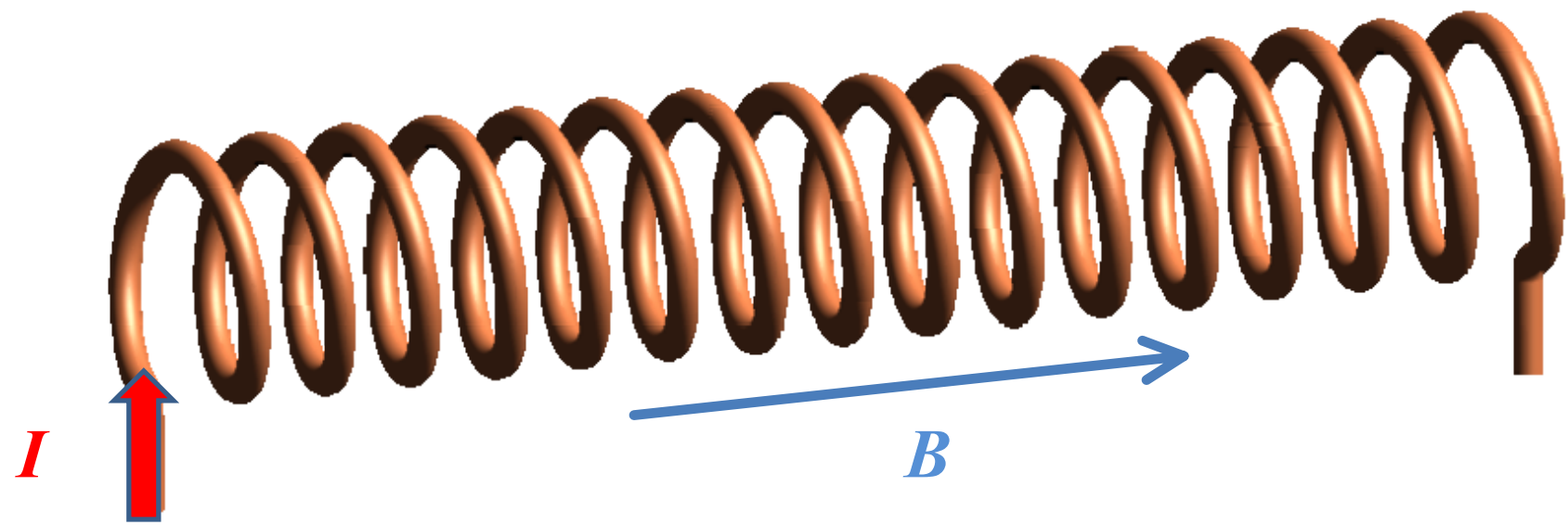
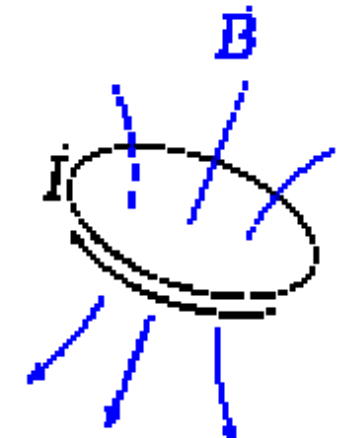
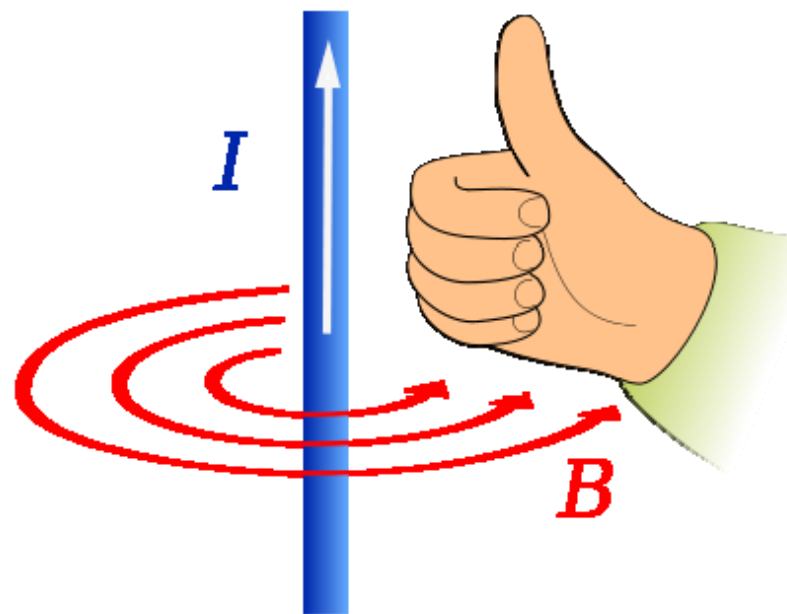
Ультравысокое разрешение



Smallest resolved mass difference
between two molecules (<0.0005 Da)

(From Alan Marshall NHMFL)

Магнитное поле



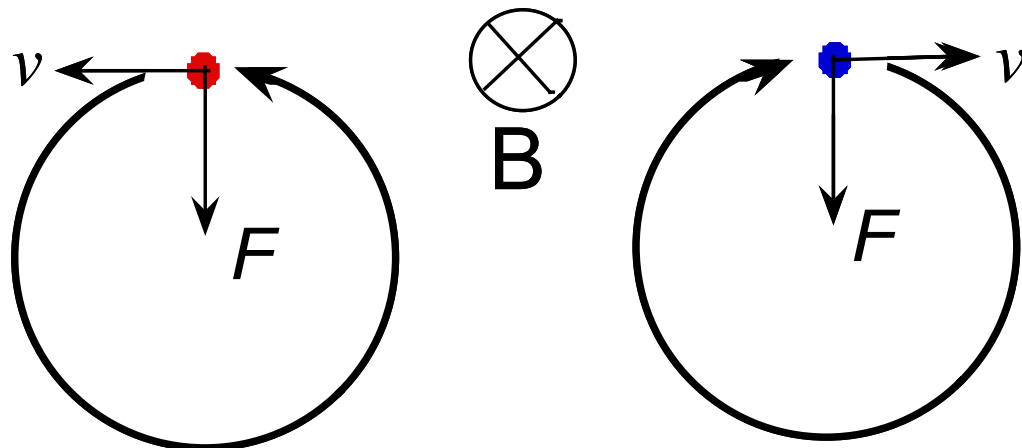






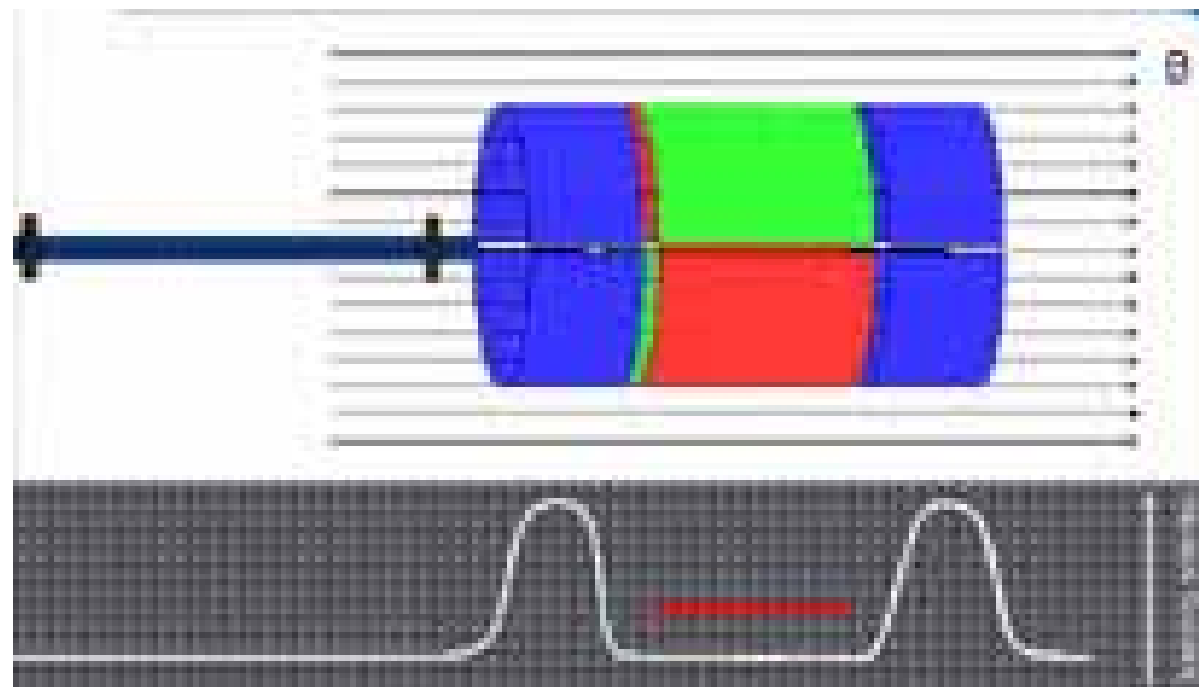
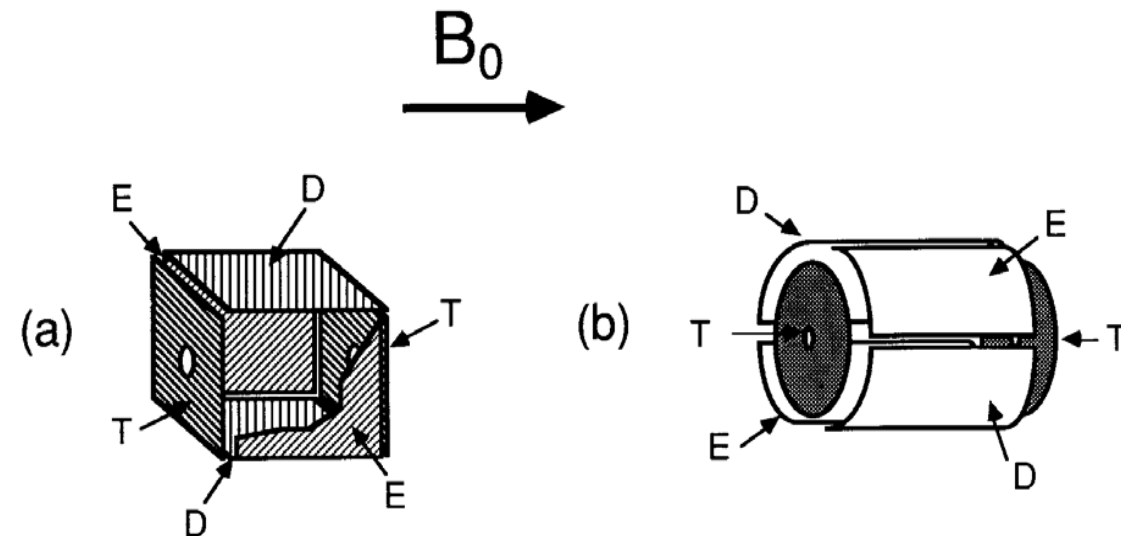
Движение иона в магнитном поле.

$$\mathbf{F} = q(\mathbf{E} + \mathbf{v} \times \mathbf{B})$$

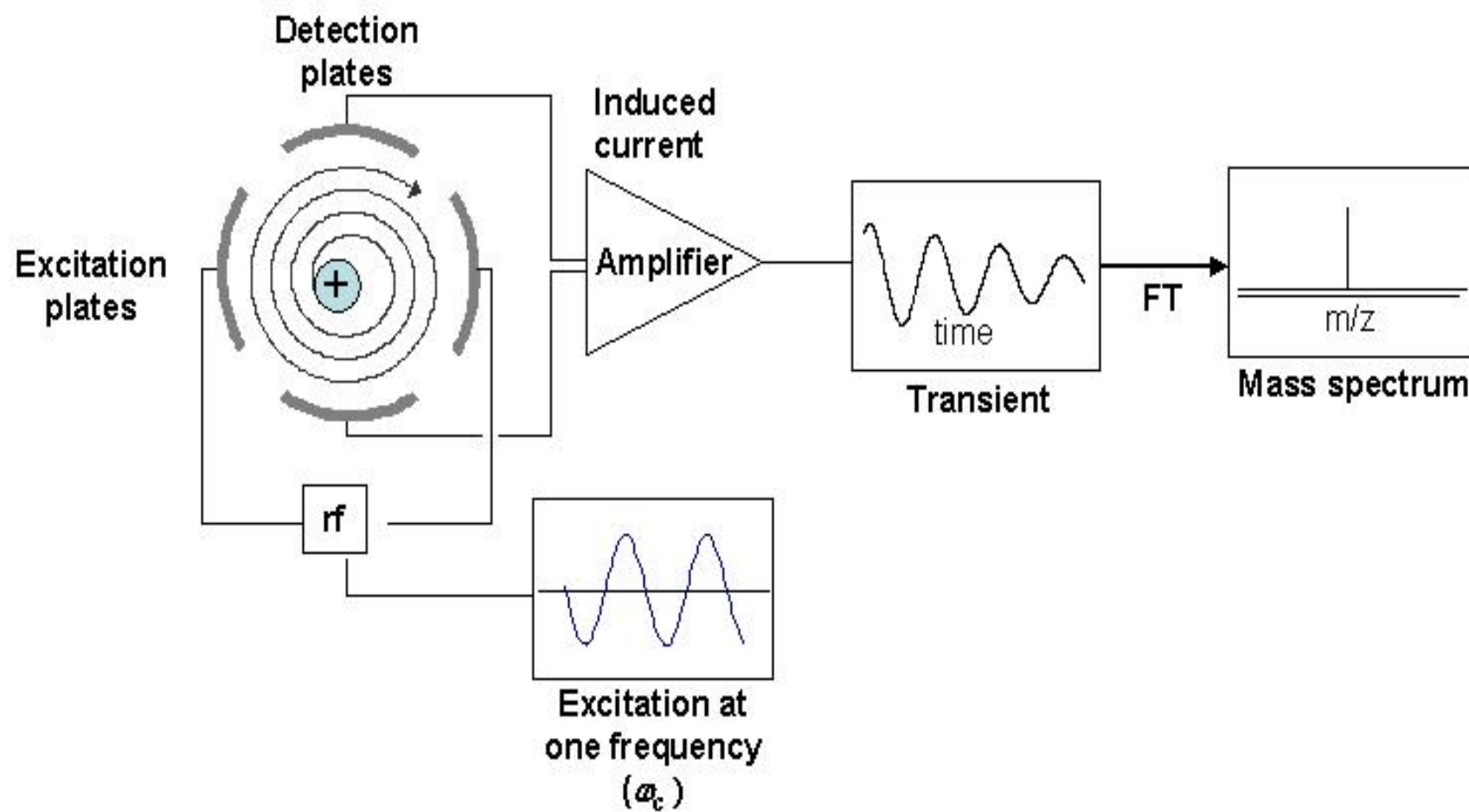


$$\omega = qB/m \text{ -- циклотронная частота}$$

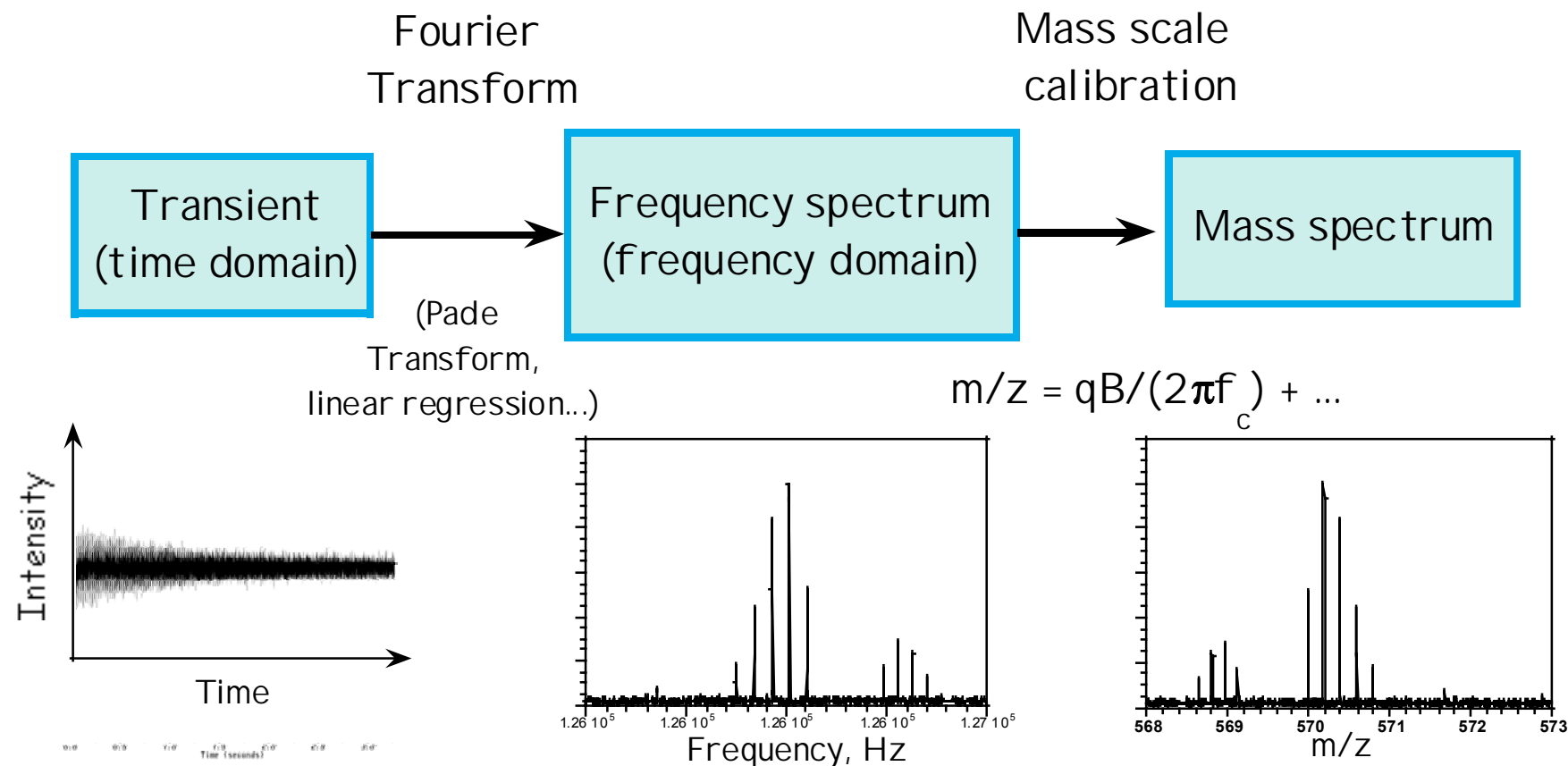
Ловушка Пенningа (Ячейка ИЦР).



Принцип работы ИЦР МС.

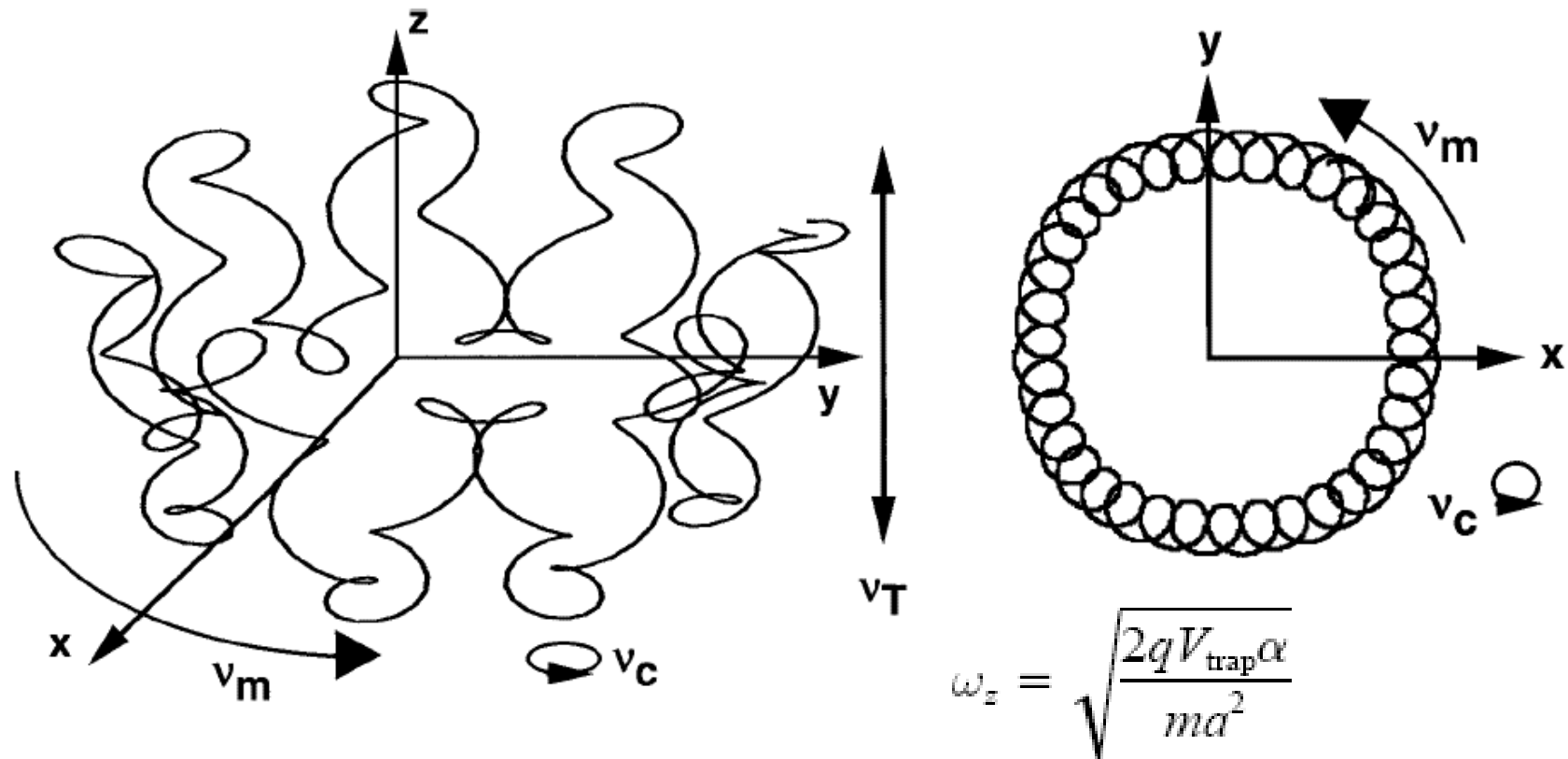


Processing Information in FTMS



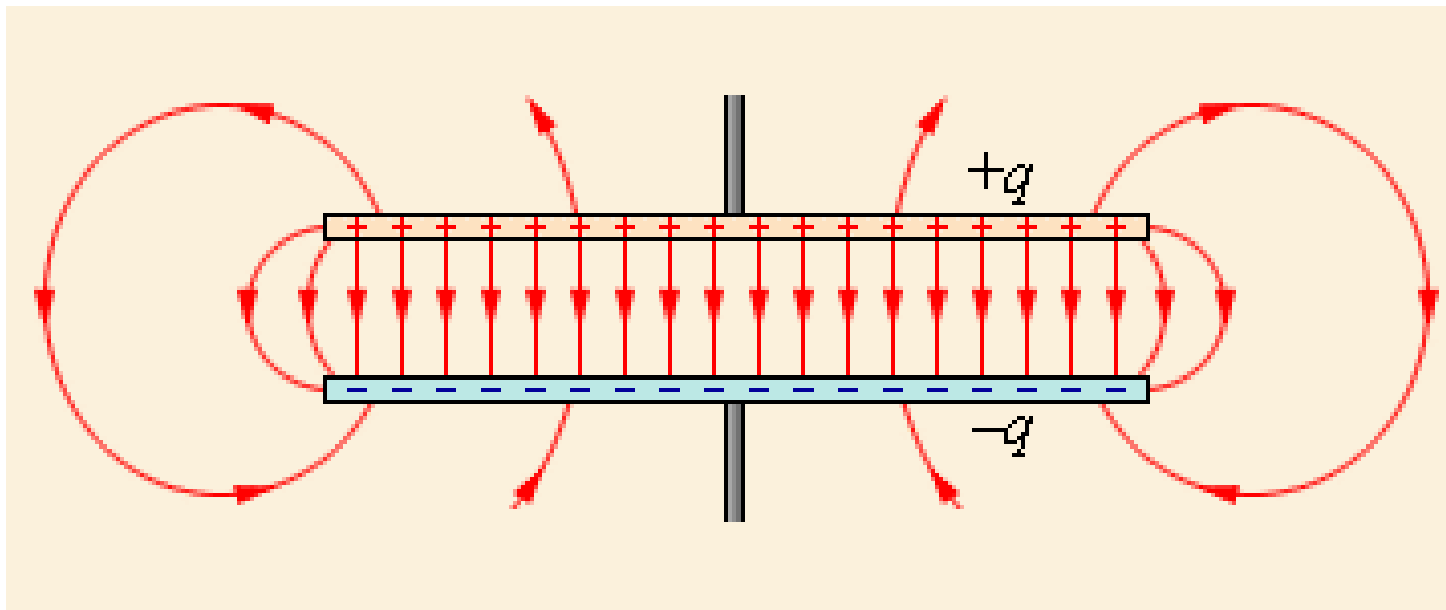
from Roman Zubarev

Движение иона в электромагнитном поле.



$$\omega_+ = \frac{\omega_c}{2} + \sqrt{\left(\frac{\omega_c}{2}\right)^2 - \frac{\omega_z^2}{2}} \quad (\text{"Reduced" cyclotron frequency})$$

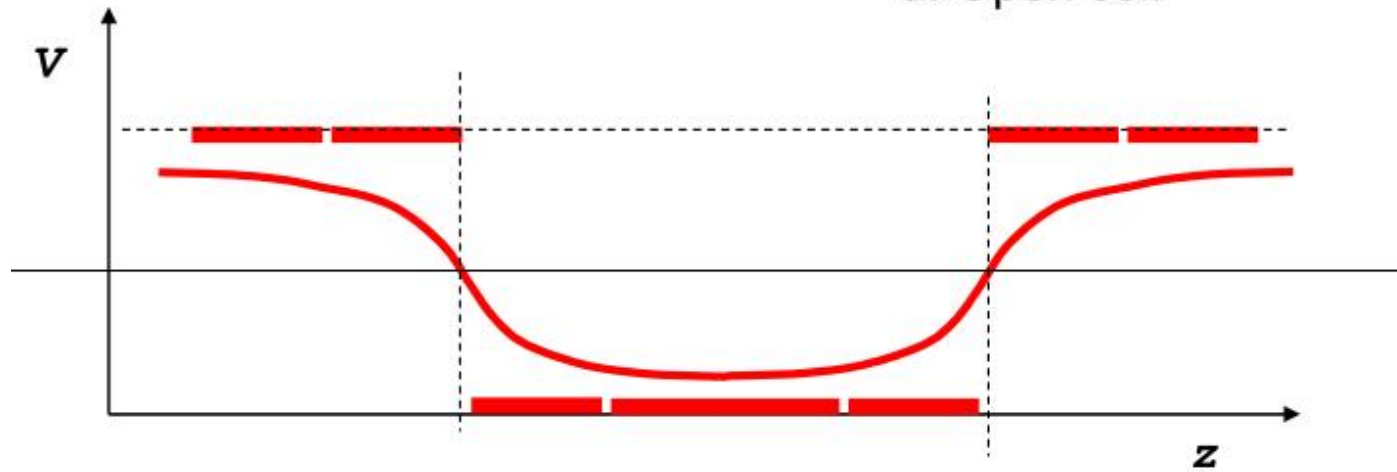
Поле плоского конденсатора



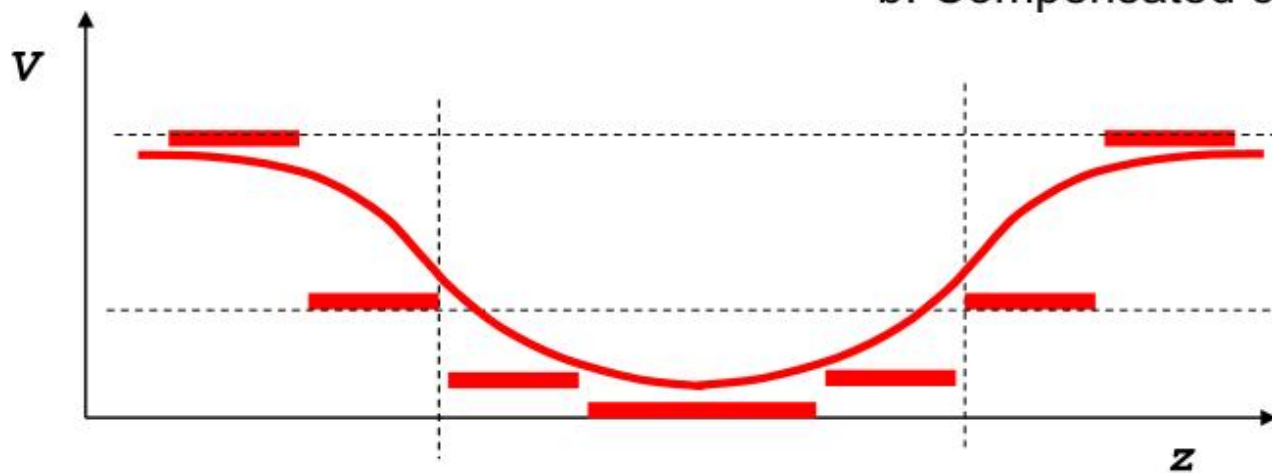
$$\omega_+ = \frac{\omega_c}{2} + \sqrt{\left(\frac{\omega_c}{2}\right)^2 - \frac{\omega_z^2}{2}} \quad (\text{"Reduced" cyclotron frequency})$$

Гармонизация поля в ИЦР ячейке

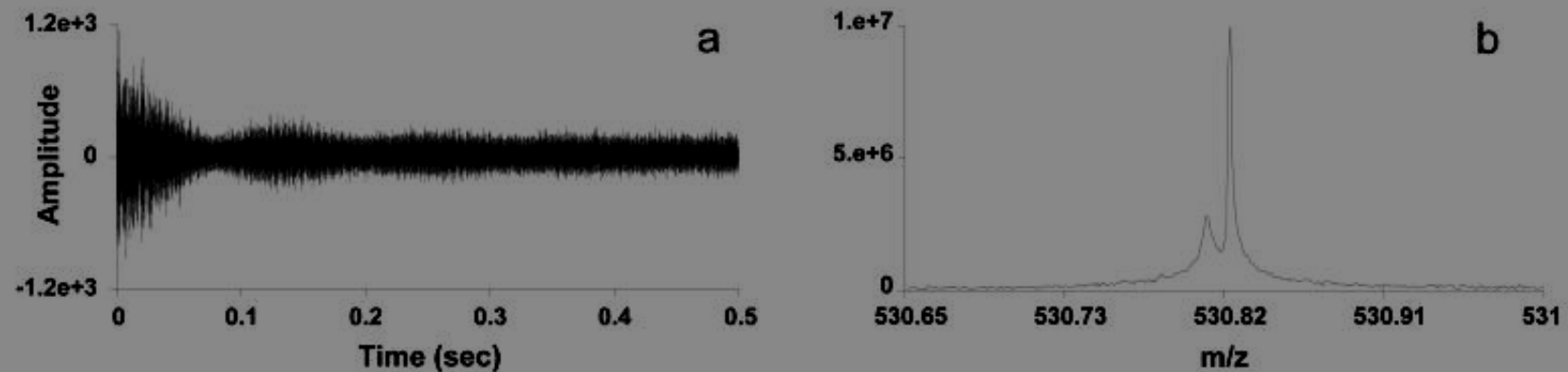
a. Open cell



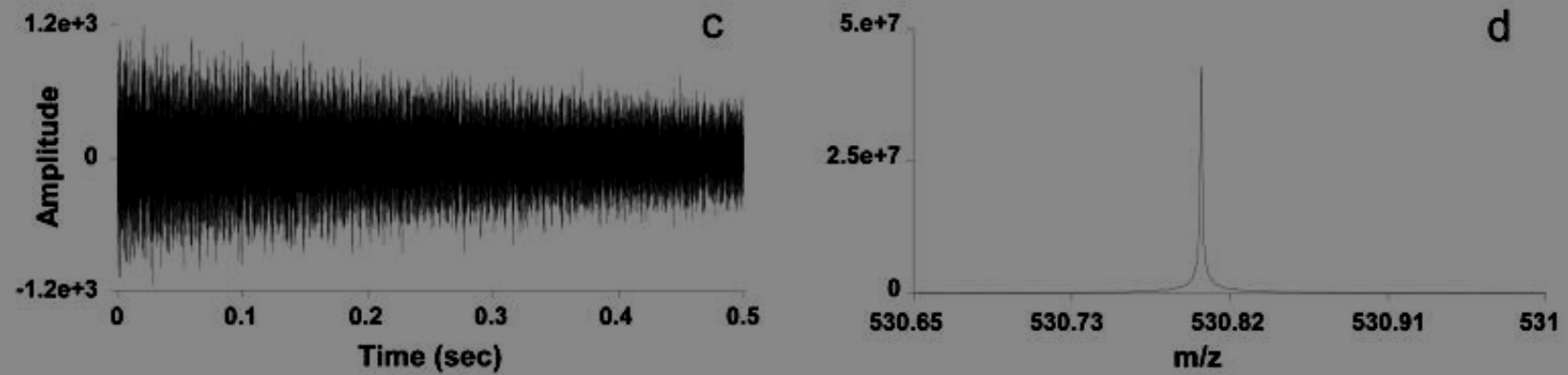
b. Compensated cell



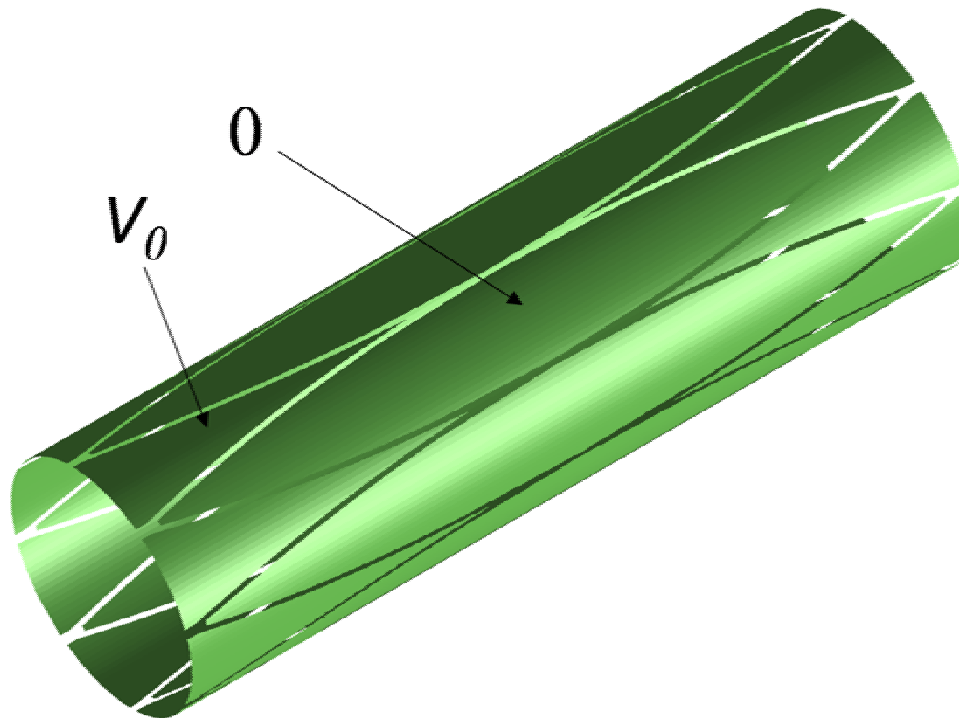
Open cell, no compensation



Compensated cell



Динамическая гармонизация поля в ИЦР ячейке

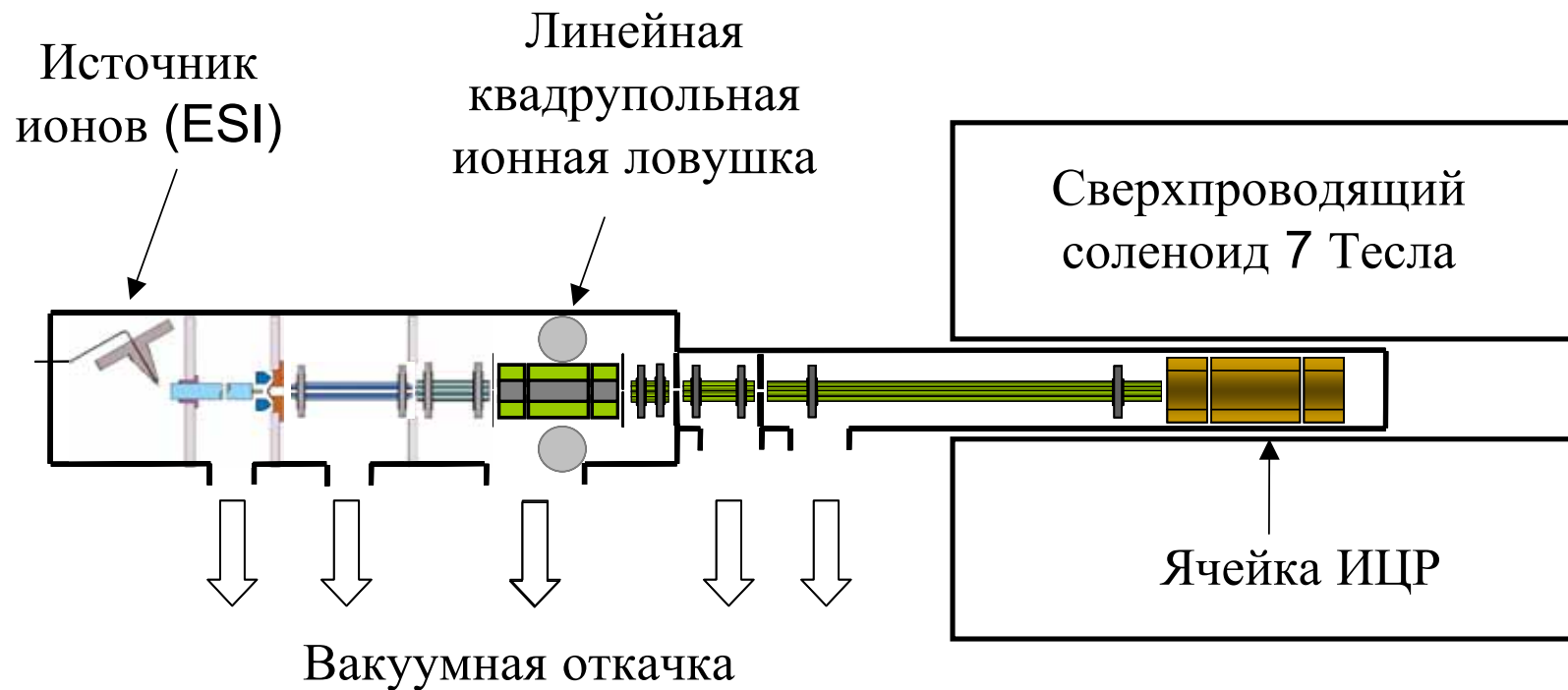


FTICR cell with dynamic harmonization of the electric field in the whole volume by shaping of excitation and detection electrode assembly.

Ivan A. Boldin and Eugene N. Nikolaev

Применение ИЦР МС для анализа гуминовых веществ

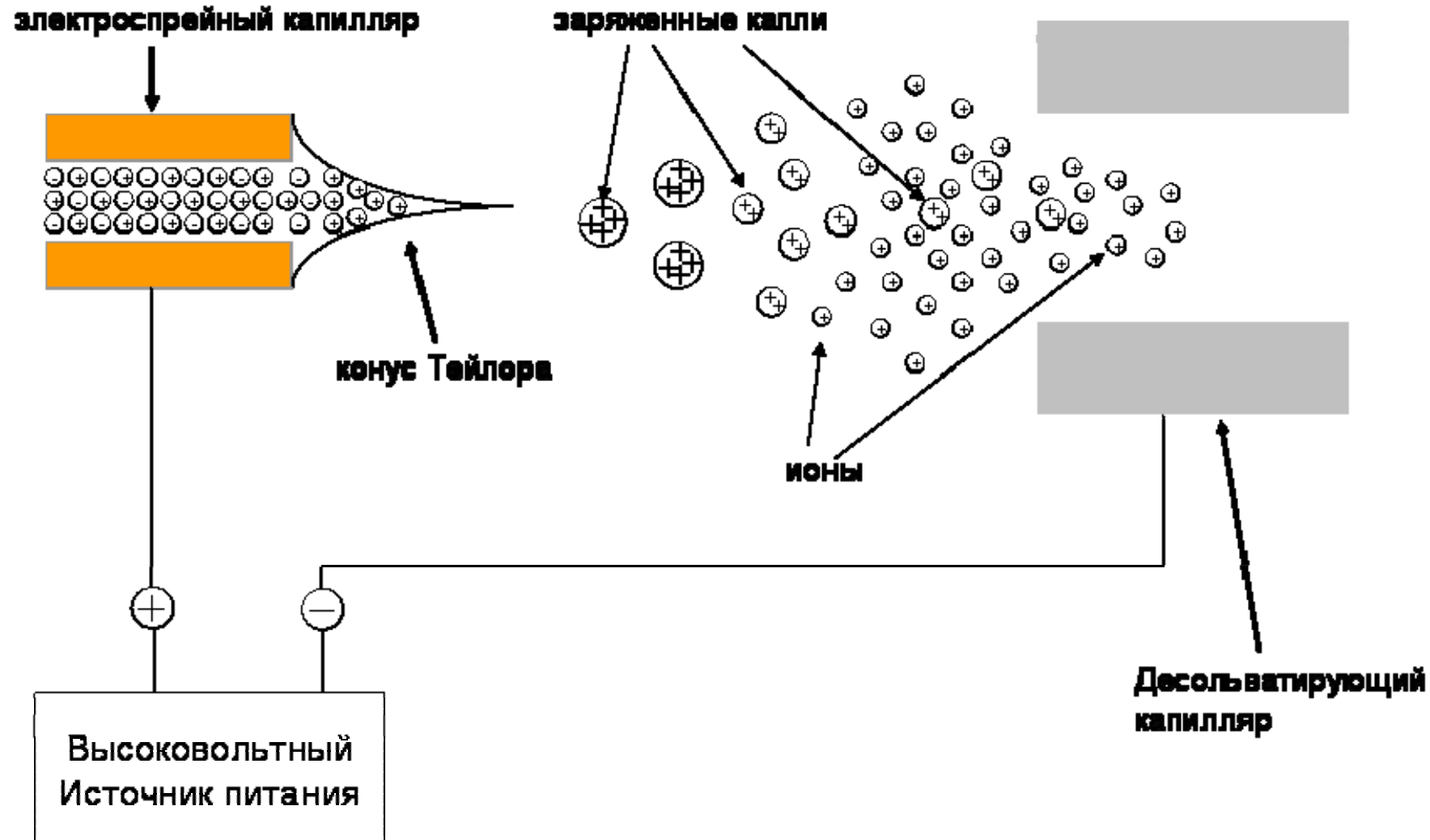
Масс-спектрометр LTQ FT (Thermo)



Максимальное разрешение 500 000 для m/z 400

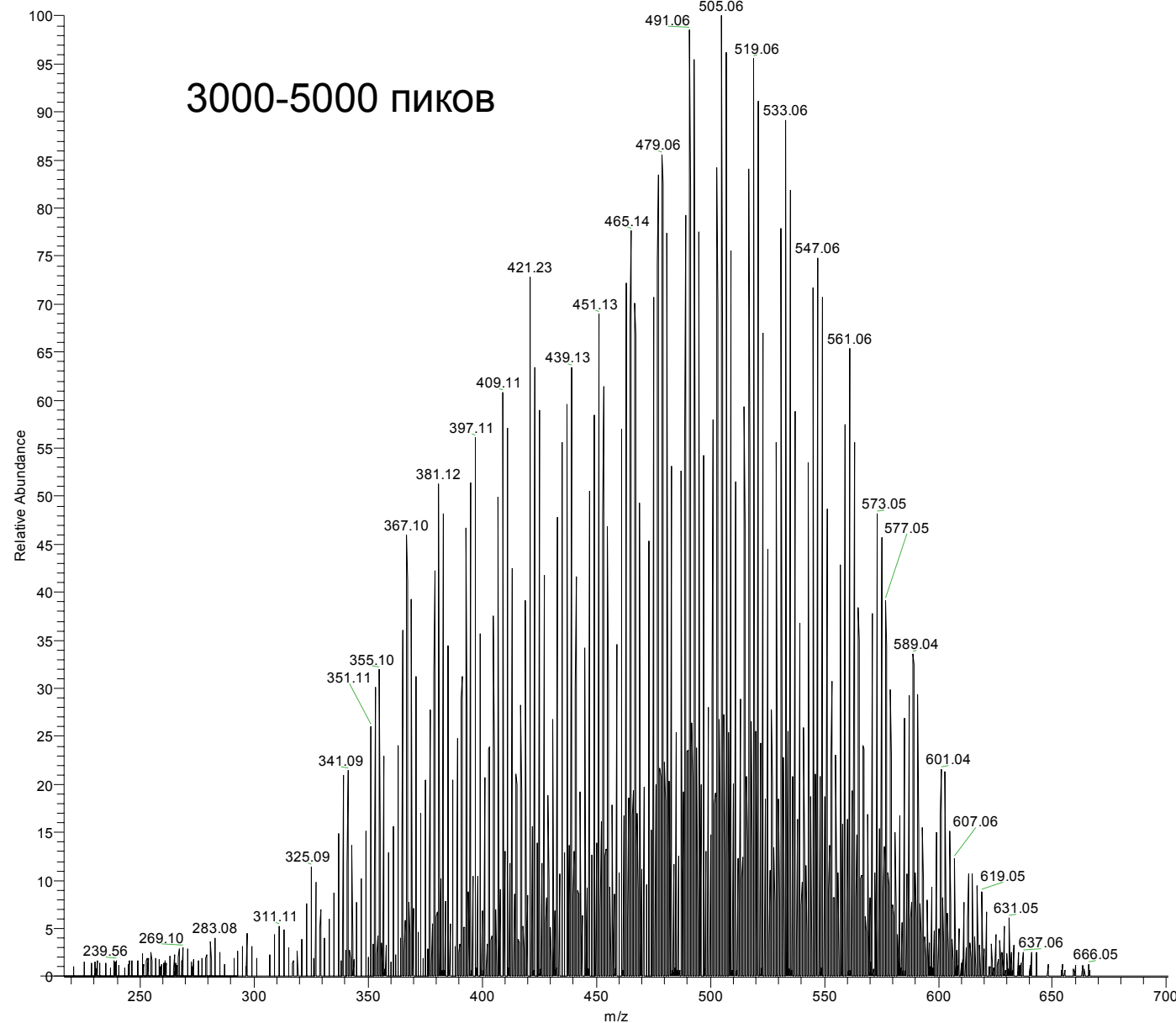
Точность измерения масс $\leq 2\text{ppm}$ при внешней калибровке

Электроспрей



ИЦР масс-спектр речных фульвокислот

FA_1-1_neg_FT #1 RT: 107.73 AV: 1 NL: 8.55E3
T: FTMS - p ESI Full ms [200.00-1000.00]



Линейное Диофантово уравнение:

$$12.0000 n(C) + 1.0078 n(H) + 15.9950 n(O) + 14.0030 n(N) = M$$

SRDOM-ACN-120ppm-3200V-av200_FT_400k...

25.07.2008 2:05:38

File recalibrated by RecalOffline

SRDOM-ACN-120ppm-3200V-av200_FT_400k_Recal #1 RT: 71.98 AV: 1 NL: 8.13E3

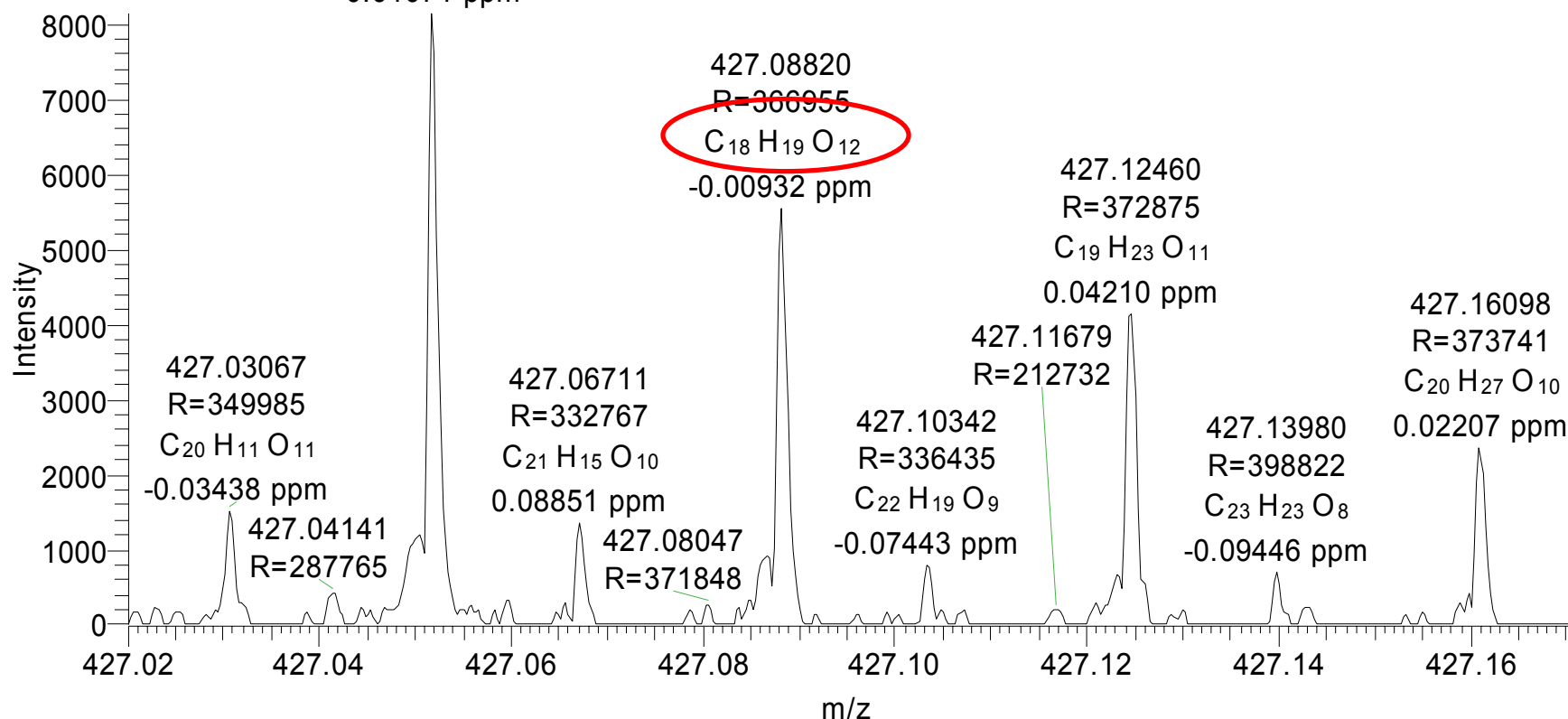
T: FTMS - p ESI Full ms [300.00-900.00]

427.05182

R=374558

C₁₇H₁₅O₁₃

0.01071 ppm



Для решения задачи необходимо привлечение специальных алгоритмов расчета, использующих дополнительную информацию.

Например, CH₂-серии в нефти

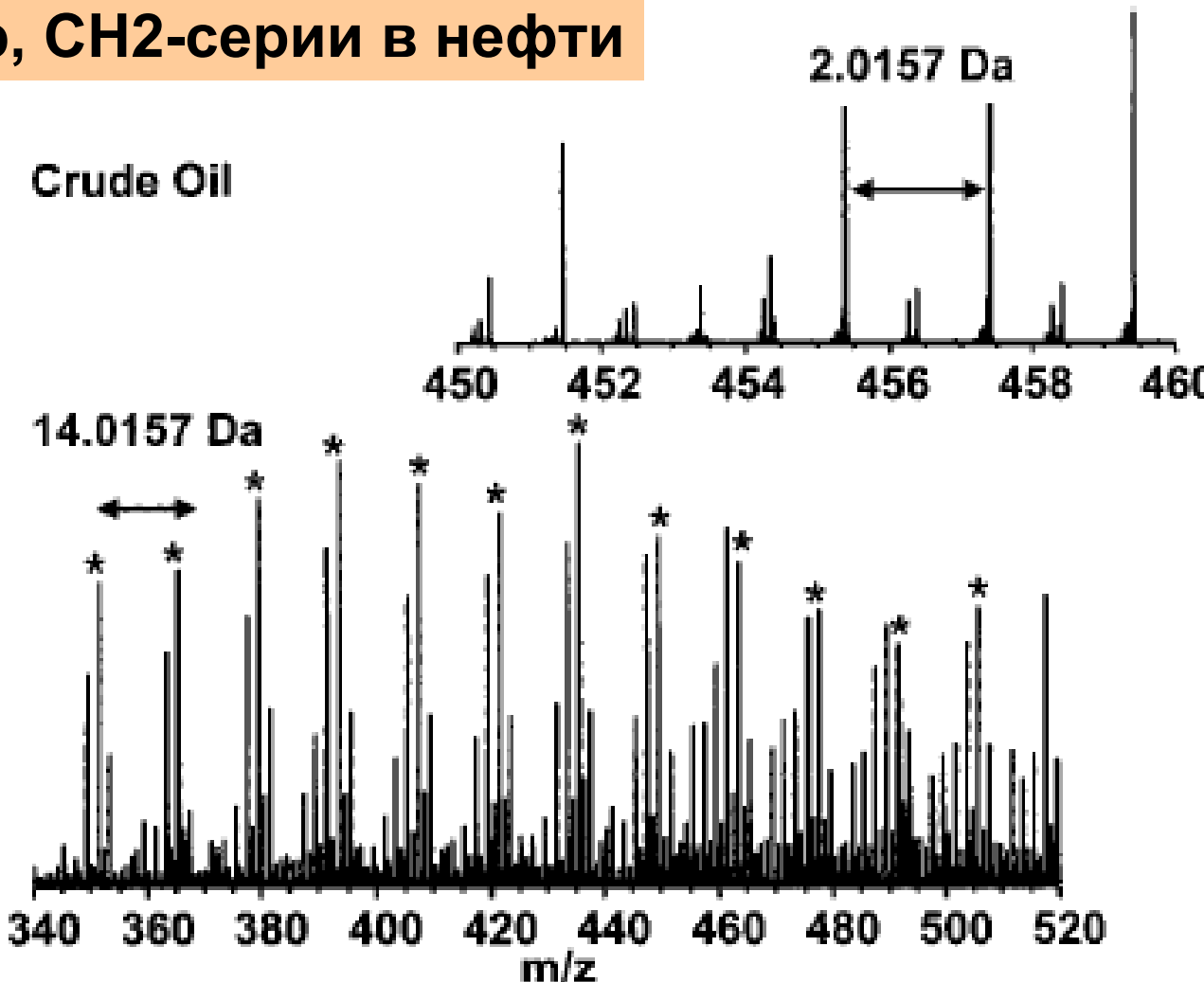
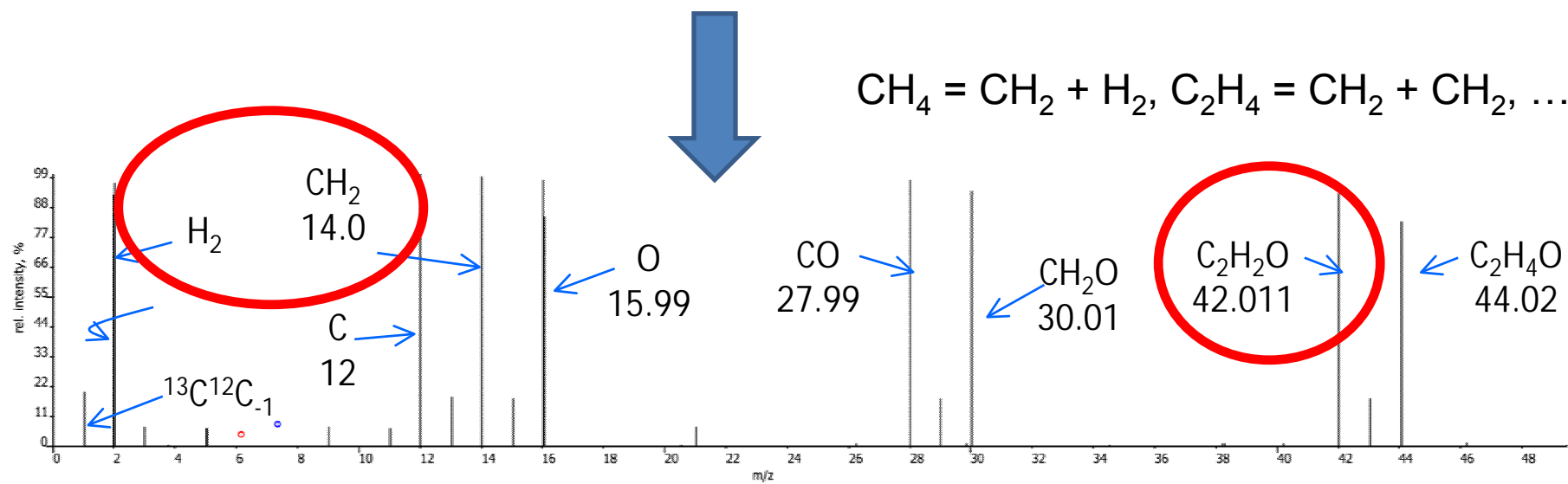
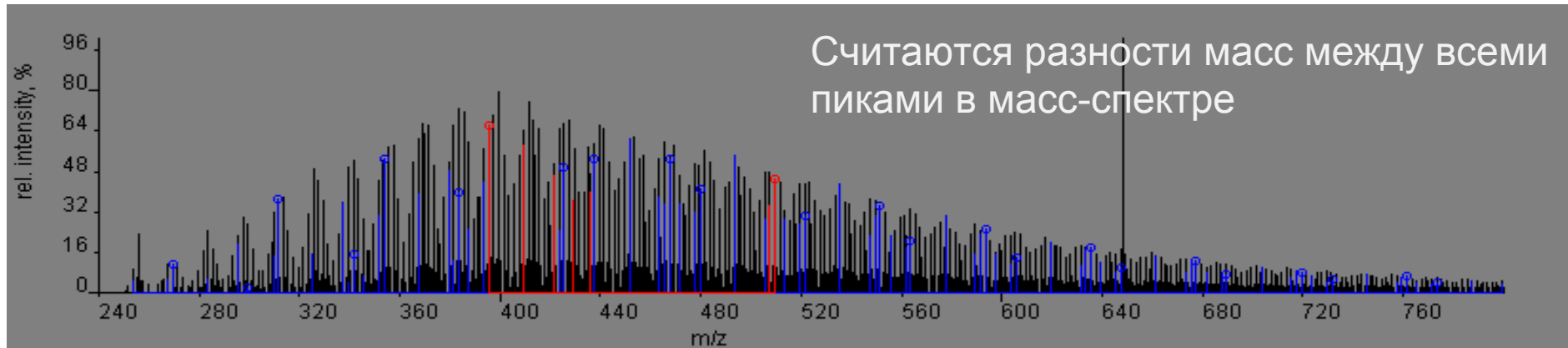


Figure 2. Mass scale-expanded segments of the full range petroleum mass spectrum of Figure 1. Species are present at every nominal mass, with obvious periodicities at every 2 (top) or 14 (bottom) nominal mass units.

Обнаружение структурных блоков — статистика разностей масс



Масс-спектр разностей после фильтрации

**Графические методы
визуализация ИЦР данных:
диаграмма Кендрика,
диаграмма ван Кревелена**

ГРАФ

Mass Defect (Da)

0.02

0.01

0

-0.01

-0.02

-0.03

-0.04

^2H

^1H

^{13}C

^{14}N

^{15}N

^{12}C

^{16}O

Atomic Mass Defects (All Different)

Mass Defect =

Atom Mass – Nearest Integer

Every $\text{C}_c\text{H}_h\text{N}_n\text{O}_o\text{S}_s$ mass
is unique!

^{31}P

^{32}S

^{34}S

0 1 2 3 4 5 6 7 8 9 10 11 12 13 14 15 16 17 18 19 20 21 22 23 24 25 26 27 28 29 30 31 32 33 34

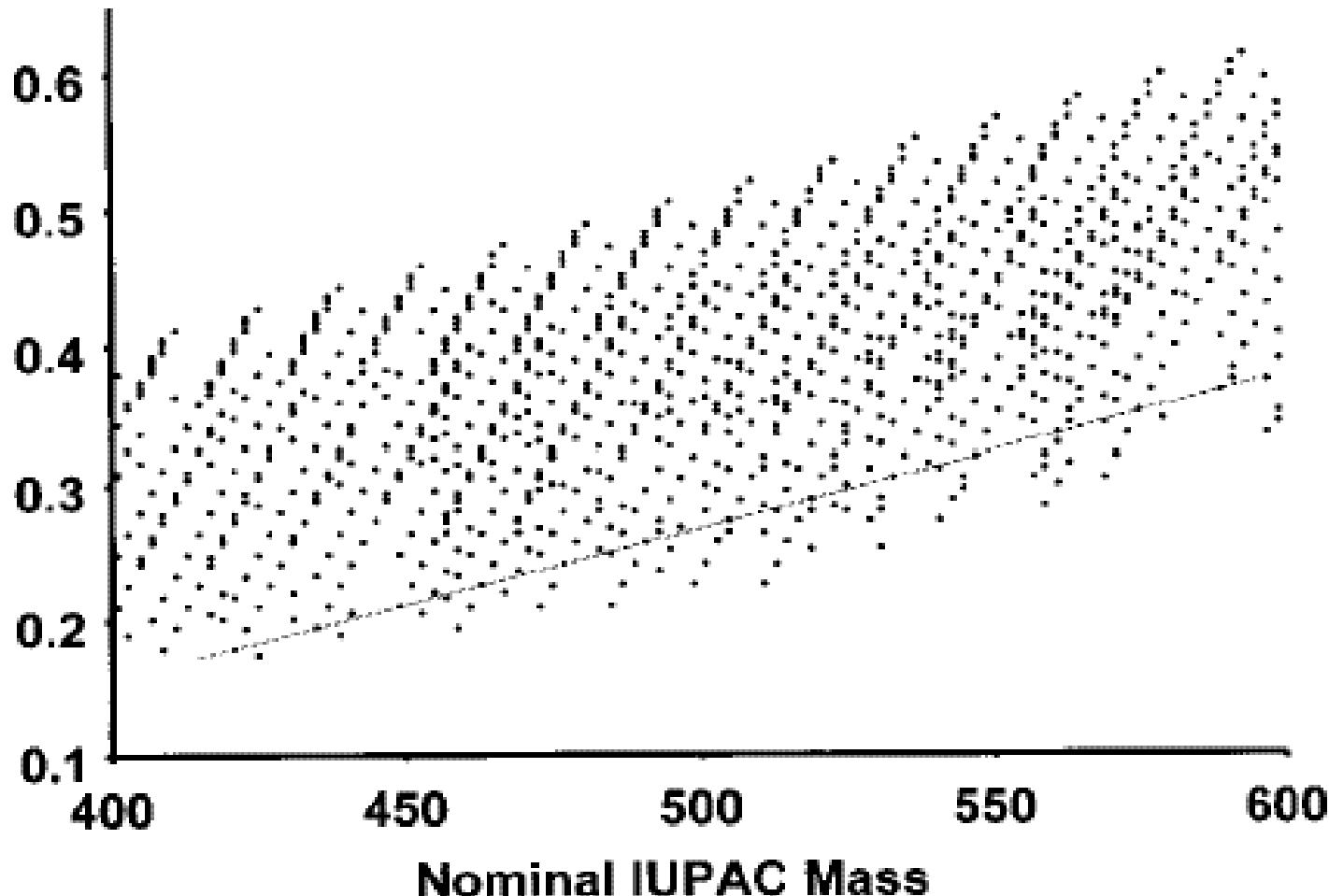
Mass (Dalton)

(From Alan Marshall NNMFL)

ИЮПАК масса дефект (CH_2) = $14.01565 - 14 = 0.01565$

Дефект массы = точная - номинальная

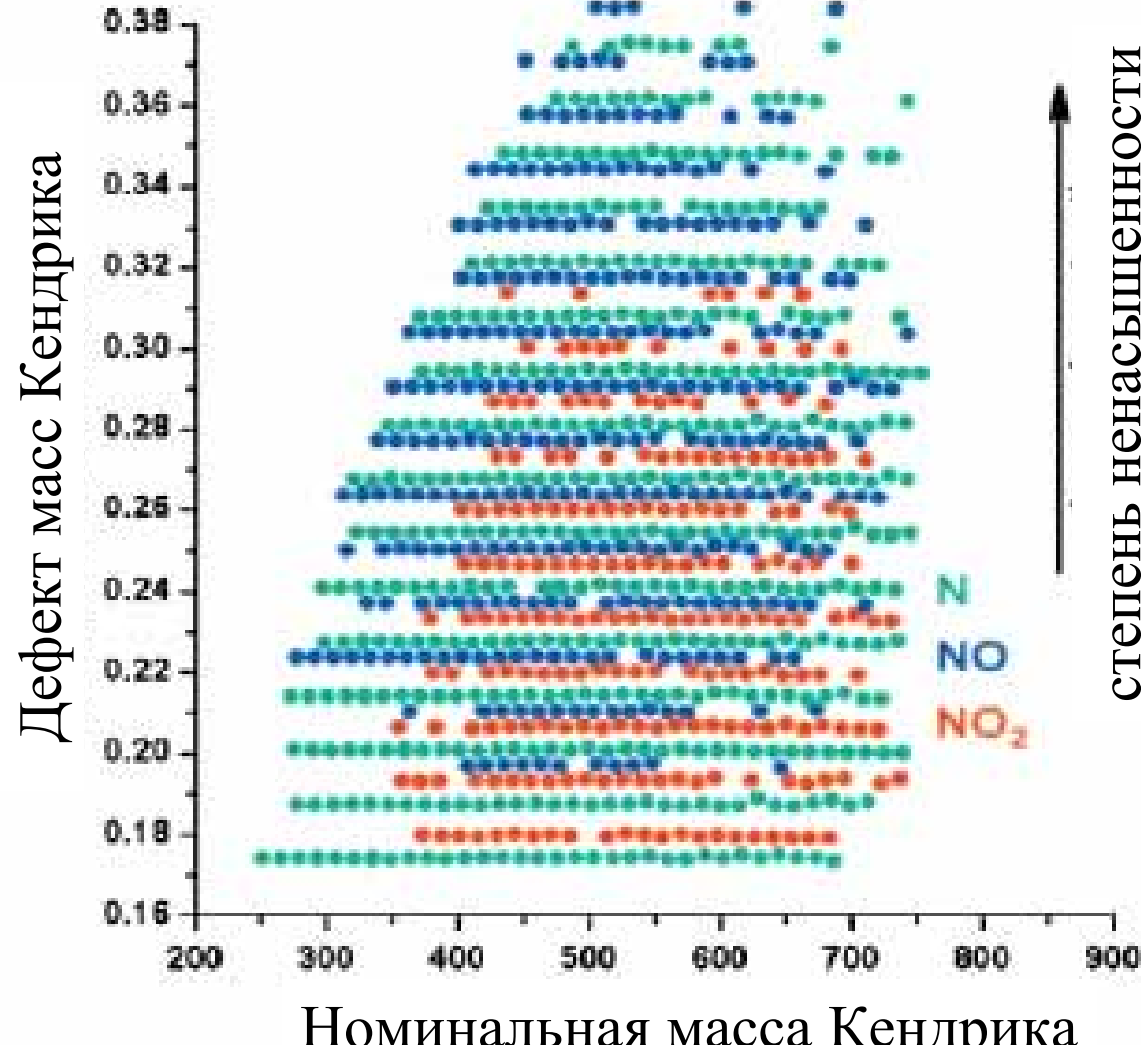
**IUPAC
Mass Defect**



(From Alan Marshall NHMFL)

Диаграмма Кендрика (шкала Кендрика $\text{CH}_2 = 14$)

Дефект масс Кендрика (CH_2) = $14. - 14 = 0.$



(From Alan Marshall NNMFL)

Масса Кендрика = МК,

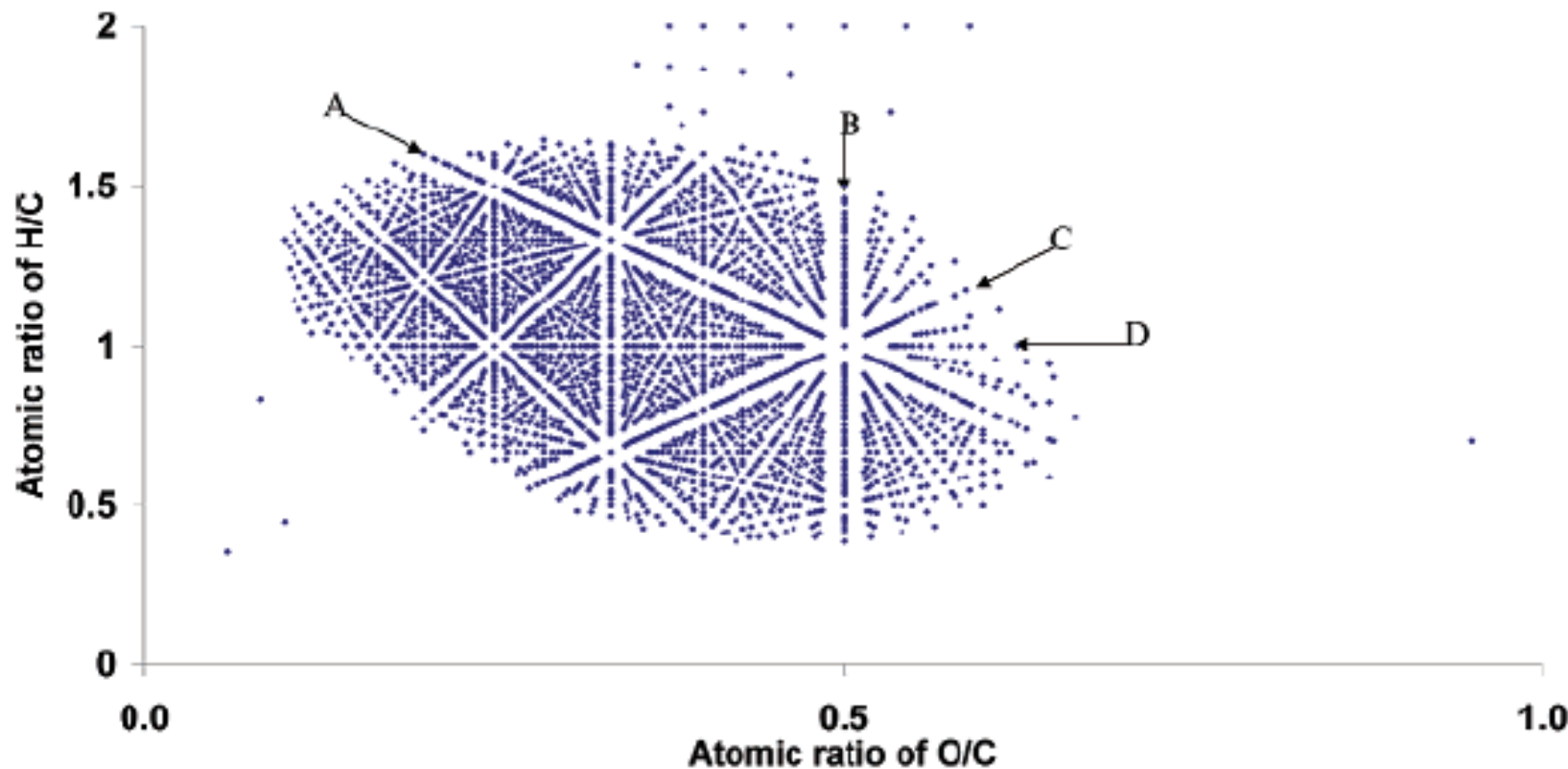
МК(CH₂) = 14,

МК(O) = ИЮПАК*14/14.0155 = 15.977,

ДМК = НМК - МК,

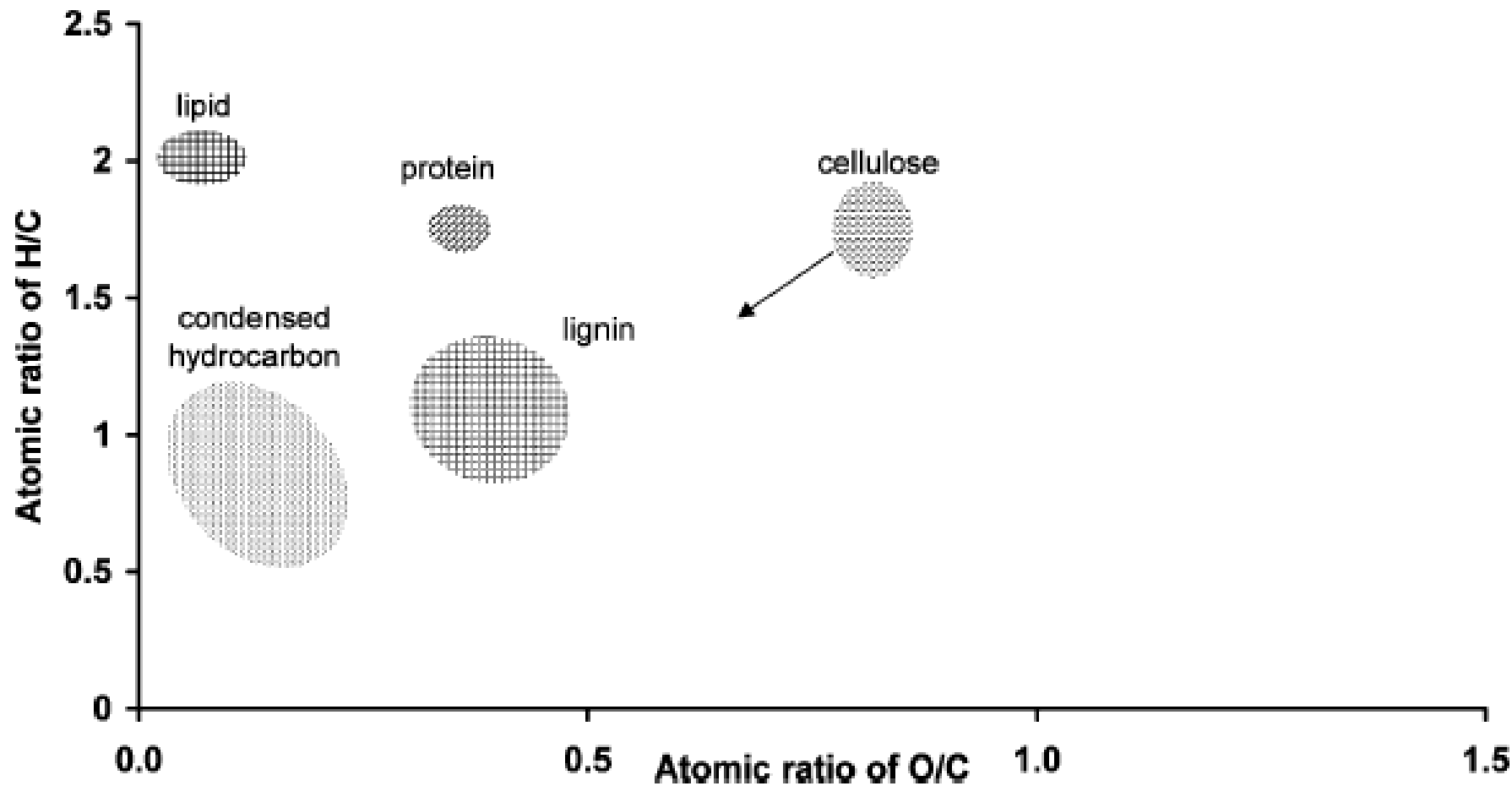
ДМК(O) = 16 - 15.977 = 0.023.

Диаграмма ван Кревелена

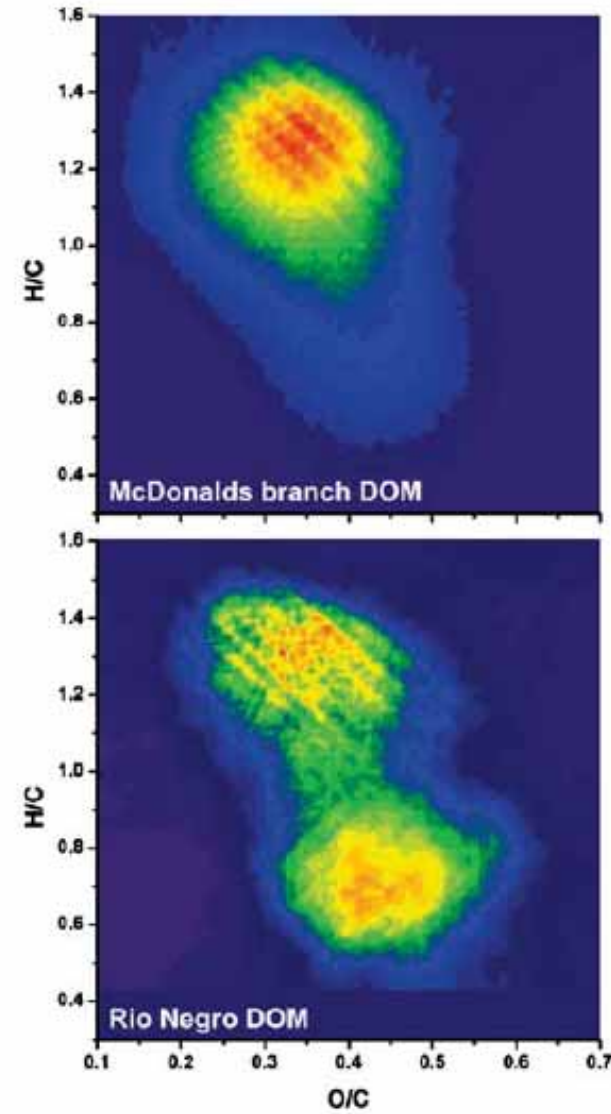
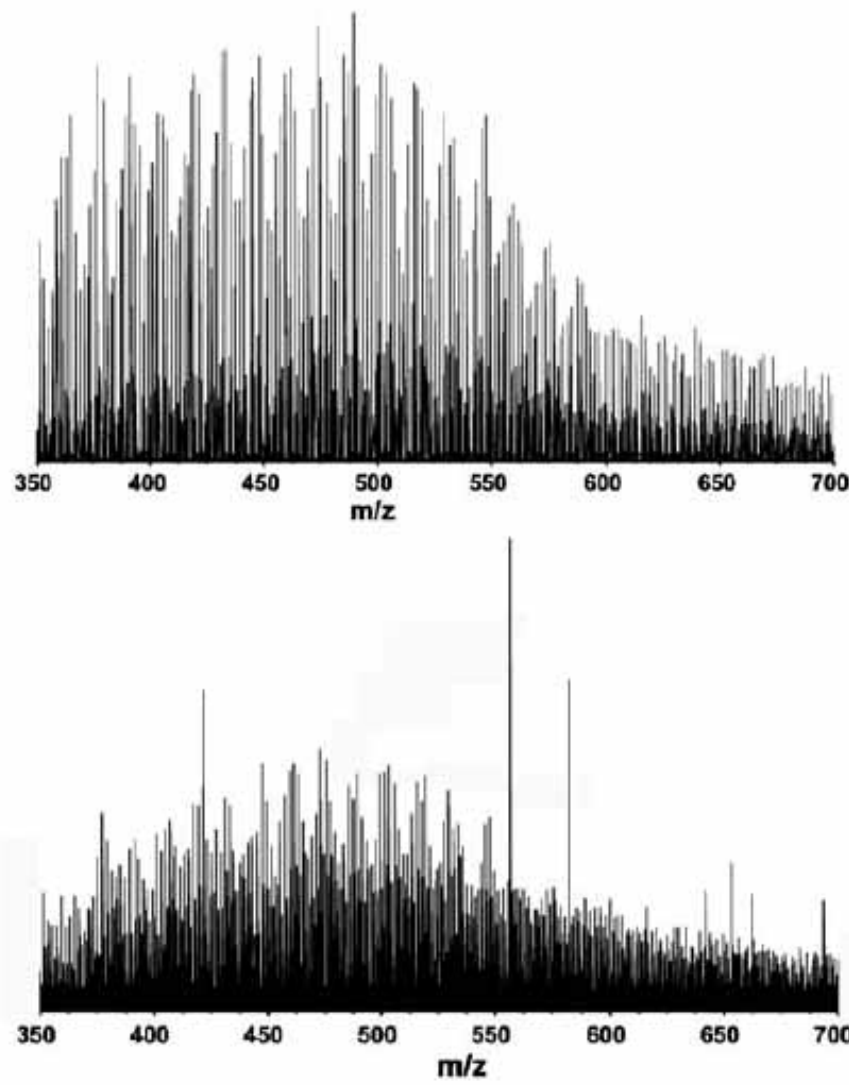


(A) methylation, demethylation, or alkyl chain elongation; (B) hydrogenation or dehydrogenation; (C) hydration or condensation; and (D) oxidation or reduction.

Regional plots of elemental compositions from some major biomolecular components on the van Krevelen diagram.

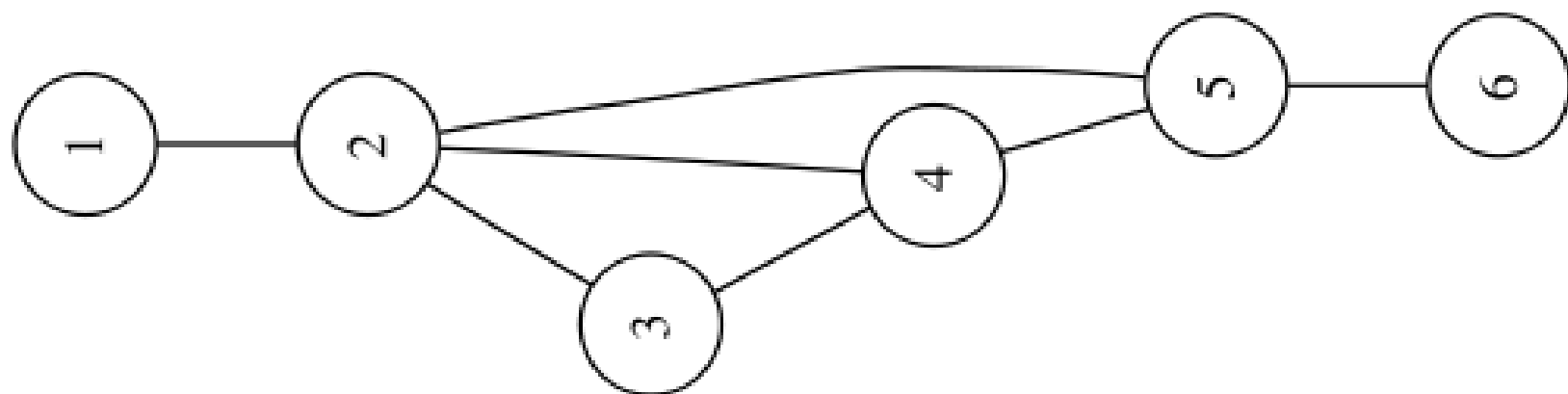


3-D van Krevelen



Kim S, Kaplan LA, Benner R, Hatcher PG (2004) Mar Chem 92:225

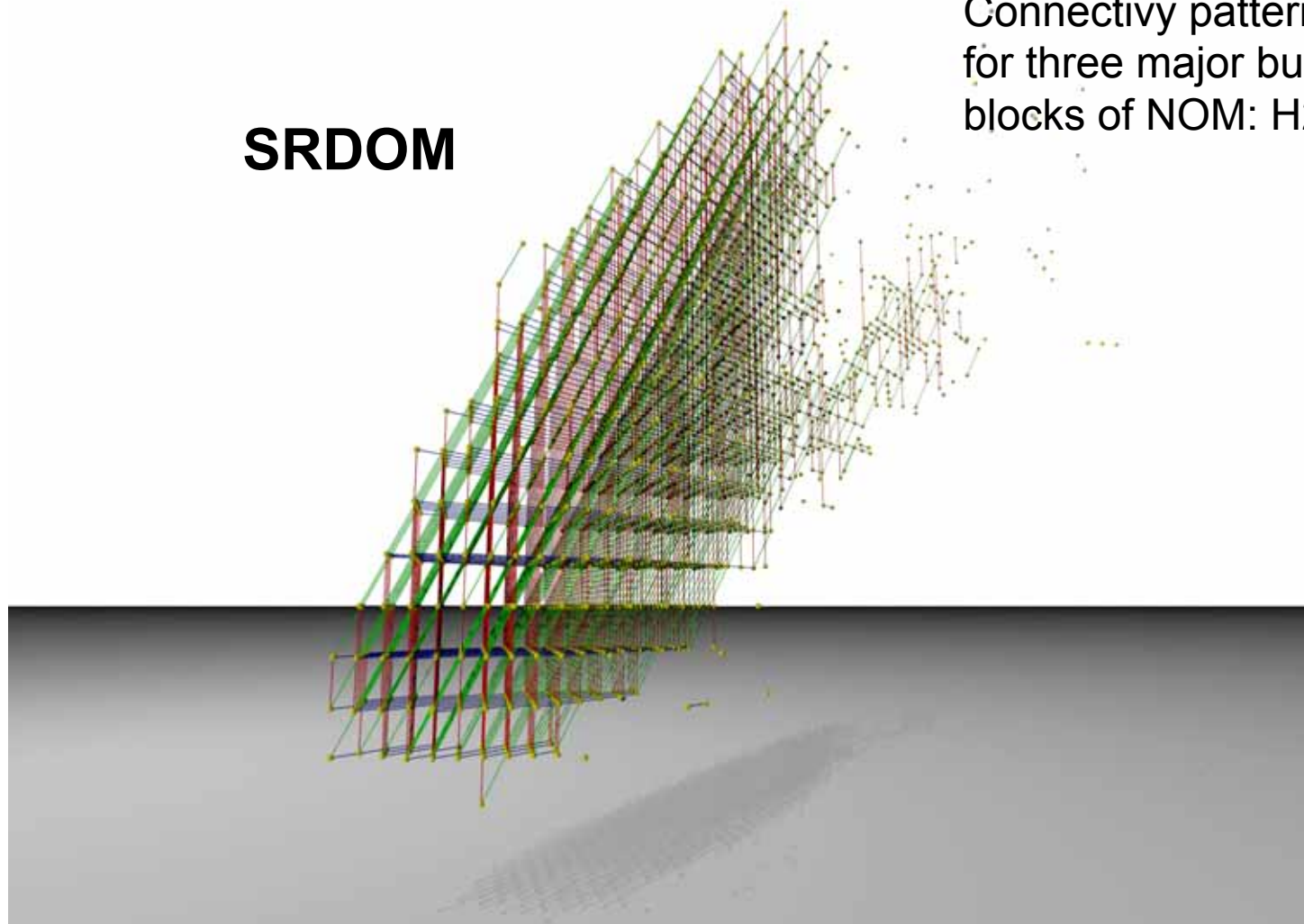
Граф - это совокупность непустого множества вершин и множества пар вершин



3D Graph

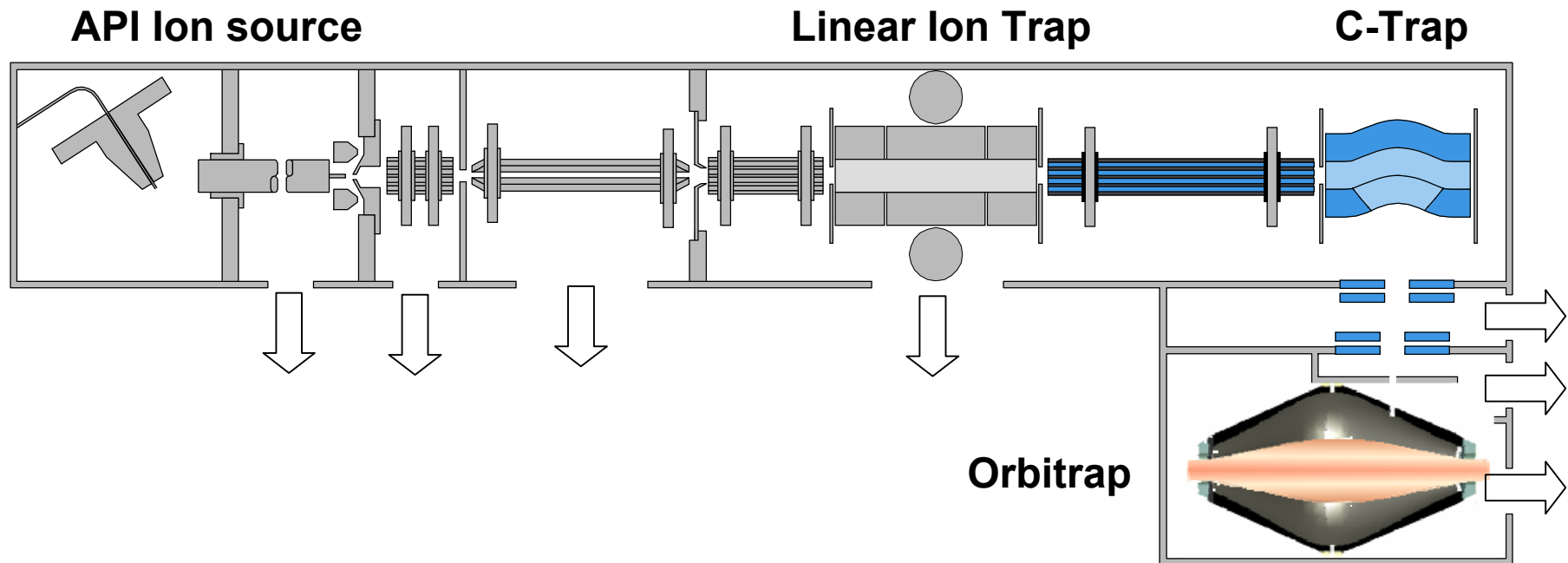
SRDOM

Connectivity pattern
for three major building
blocks of NOM: H₂, CH₂, C₂H₂O



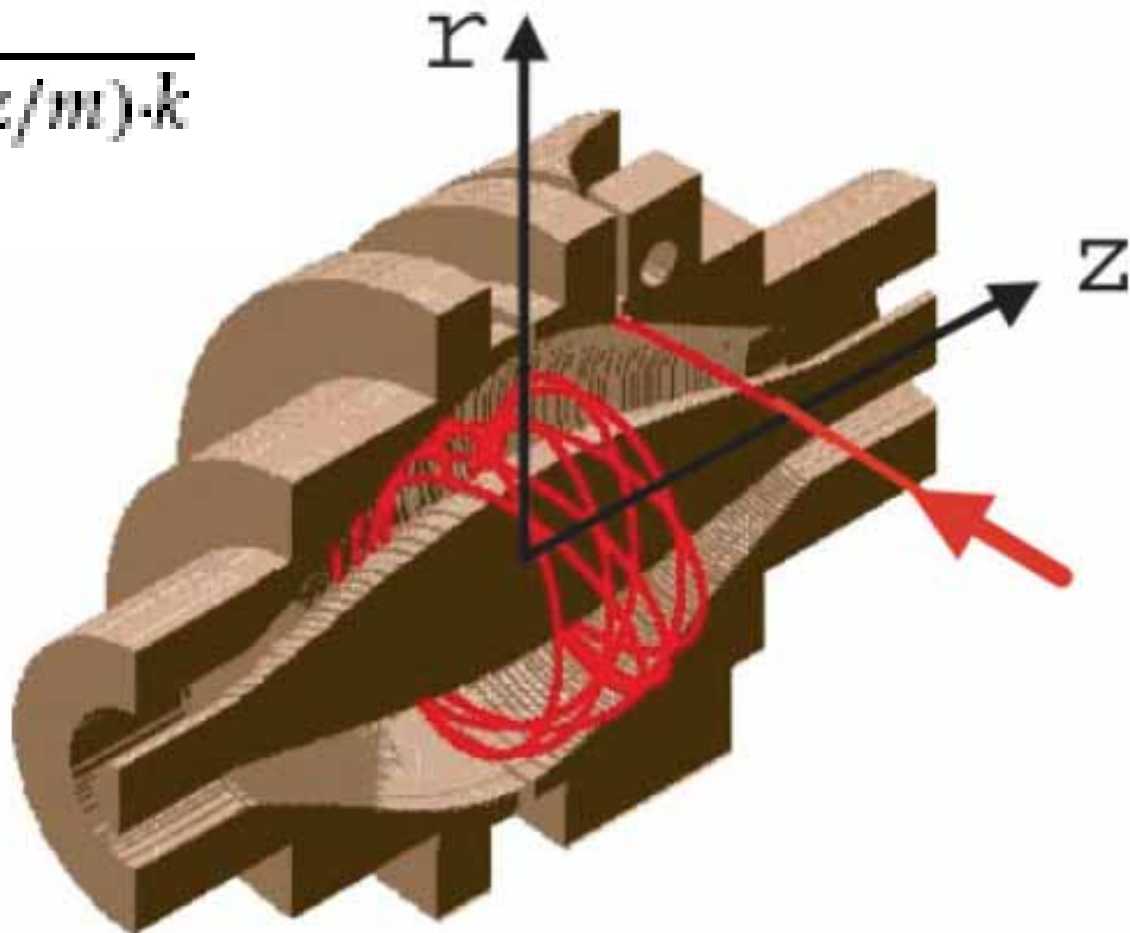
Anton Grigoryev

Linear Ion Trap – Orbitrap Hybrid MS



Kingdom trap

$$\omega = \sqrt{(z/m) \cdot k}$$



Спасибо за внимание!